

Ultimo aggiornamento delle informazioni: Marzo 2025

Configurazione di prodotto: RZ75.G2

RZ75.G2: Modulo per binario Superrail 48V - DALI - UGR<19 - L=1372 - - 11W 1334.5lm - 2700K - CRI 90 - Nero/Bianco Trasparente



Codice prodotto

RZ75.G2: Modulo per binario Superrail 48V - DALI - UGR<19 - L=1372 - - 11W 1334.5lm - 2700K - CRI 90 - Nero/Bianco Trasparente

Descrizione tecnica

Prodotto per illuminazione lineare con LED monocromatico 2700K CRI90 completo di adattatore per installazione su binario Superrail 48V. Corpo illuminante UGR<19 con luminanza controllata ($L \leq 3000 \text{cd/m}^2$) ideale per ambienti con uso di videotermini. Ottica Space Opti-Diamond disponibile sia in versione con Cover Bianca (Bianco trasparente) o Nera (Nero Trasparente). L'adattatore in materiale termoplastico include il circuito driver DC/DC con funzione dimmerabile DALI. La tecnologia integrata «power line» permette di regolare indipendentemente ogni modulo luminoso inserito sul binario. Corpo principale in alluminio estruso versione Frameless. Sistema rapido di connessione elettrica e meccanica dell'adattatore sul binario senza bisogno di utensili.

Installazione

Fissaggio meccanico con adattatore su binario Superrail 48V

Colore

Nero/Bianco Trasparente (G2)

Peso (Kg)

0.75

Montaggio

Binario basso voltaggio

Cablaggio

Driver LED DC/DC integrato nell'adattatore - connessione diretta sul binario 48V. Unità di alimentazione del binario da ordinare separatamente.

Soddisfa EN60598-1 e relative note



Dati tecnici

| | | | |
|--|-------|------------------------------------|--|
| Im di sistema: | 1335 | Life Time LED 1: | > 50,000h - L90 - B10 (Ta 25°C) |
| W di sistema: | 11 | Voltaggio [Vin]: | 48 |
| Im di sorgente: | 1570 | Codice lampada: | LED |
| W di sorgente: | 9.5 | Numero di lampade per vano ottico: | 1 |
| Efficienza luminosa (lm/W, dati di sistema): | 121.3 | Codice ZVEI: | LED |
| Im in modalità emergenza: | - | Numero di vani ottici: | 1 |
| Flusso totale emesso a 90° o superiore [Lm]: | 26 | Corrente LED [mA]: | 39 |
| Light Output Ratio (L.O.R.) [%]: | 85 | Power factor: | Vedi istruzioni di installazione |
| CRI (minimo): | 90 | % minima di dimmerazione: | 5 |
| Temperatura colore [K]: | 2700 | Protezione alle sovratensioni: | 2kV Modo comune e 1kV Modo differenziale |
| MacAdam Step: | 3 | Control: | DALI |

Polare

| | | CIE nL 0.85 89-96-99-98-85 UGR 15.8-15.0 DIN A.61 UTE 0.83A+0.02T F*1=893 F*1+F*2=964 F*1+F*2+F*3=989 | | Lux | |
|---|-----|--|------|------------------|--|
| h | d1 | d2 | Em | E _{max} | |
| 1 | 1.2 | 1.2 | 1004 | 1267 | |
| 2 | 2.3 | 2.3 | 251 | 317 | |
| 3 | 3.5 | 3.5 | 112 | 141 | |
| 4 | 4.7 | 4.6 | 63 | 79 | |

Coefficienti di utilizzazione

| R | 77 | 75 | 73 | 71 | 55 | 53 | 33 | 00 | DRR |
|------|----|----|----|----|----|----|----|----|-----|
| K0.8 | 72 | 67 | 63 | 61 | 66 | 63 | 62 | 59 | 70 |
| 1.0 | 76 | 71 | 68 | 65 | 70 | 67 | 67 | 63 | 76 |
| 1.5 | 81 | 77 | 74 | 72 | 76 | 73 | 72 | 69 | 83 |
| 2.0 | 84 | 81 | 79 | 77 | 80 | 78 | 77 | 73 | 88 |
| 2.5 | 86 | 84 | 82 | 80 | 82 | 80 | 79 | 76 | 91 |
| 3.0 | 87 | 85 | 84 | 83 | 84 | 82 | 81 | 78 | 94 |
| 4.0 | 88 | 87 | 86 | 85 | 85 | 84 | 83 | 80 | 96 |
| 5.0 | 89 | 88 | 87 | 87 | 86 | 85 | 84 | 81 | 97 |

Curva limite di luminanza

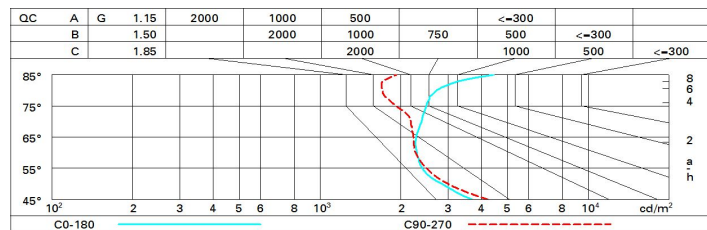


Diagramma UGR

| Corrected UGR values (at 1570 lm bare lamp luminous flux) | | | | | | | | | | |
|--|-----|---------------------|------|------------|------|------|-------------------|------------|------|------|
| Reflect.: ceiling/cav walls work pl. Room dim x y | | 0.70 | 0.70 | 0.50 | 0.50 | 0.30 | 0.70 | 0.70 | 0.50 | 0.50 |
| | | 0.50 | 0.30 | 0.50 | 0.30 | 0.30 | 0.50 | 0.30 | 0.50 | 0.30 |
| | | 0.20 | 0.20 | 0.20 | 0.20 | 0.20 | 0.20 | 0.20 | 0.20 | 0.20 |
| | | viewed crosswise | | | | | viewed endwise | | | |
| 2H | 2H | 14.0 | 14.7 | 14.3 | 14.9 | 15.2 | 14.3 | 14.9 | 14.6 | 15.2 |
| | 3H | 14.5 | 15.0 | 14.8 | 15.3 | 15.7 | 14.3 | 14.9 | 14.6 | 15.2 |
| | 4H | 14.7 | 15.3 | 15.1 | 15.6 | 16.0 | 14.3 | 14.8 | 14.6 | 15.1 |
| | 6H | 15.1 | 15.6 | 15.5 | 15.9 | 16.3 | 14.2 | 14.7 | 14.6 | 15.1 |
| | 8H | 15.3 | 15.8 | 15.7 | 16.1 | 16.5 | 14.2 | 14.7 | 14.6 | 15.0 |
| | 12H | 15.5 | 16.0 | 15.9 | 16.4 | 16.8 | 14.2 | 14.6 | 14.6 | 15.0 |
| 4H | 2H | 14.0 | 14.5 | 14.4 | 14.9 | 15.2 | 14.8 | 15.3 | 15.1 | 15.6 |
| | 3H | 14.6 | 15.1 | 15.0 | 15.4 | 15.8 | 14.9 | 15.4 | 15.3 | 15.7 |
| | 4H | 15.0 | 15.4 | 15.4 | 15.8 | 16.3 | 15.0 | 15.4 | 15.4 | 15.8 |
| | 6H | 15.5 | 15.9 | 16.0 | 16.3 | 16.8 | 15.0 | 15.4 | 15.5 | 15.8 |
| | 8H | 15.8 | 16.1 | 16.3 | 16.6 | 17.1 | 15.0 | 15.4 | 15.5 | 15.8 |
| | 12H | 16.2 | 16.5 | 16.7 | 17.0 | 17.5 | 15.0 | 15.4 | 15.5 | 15.8 |
| 8H | 4H | 15.1 | 15.4 | 15.6 | 15.9 | 16.4 | 15.3 | 15.6 | 15.7 | 16.0 |
| | 6H | 15.8 | 16.0 | 16.3 | 16.5 | 17.0 | 15.4 | 15.7 | 15.9 | 16.2 |
| | 8H | 16.2 | 16.4 | 16.7 | 16.9 | 17.4 | 15.5 | 15.8 | 16.0 | 16.3 |
| | 12H | 16.8 | 17.0 | 17.3 | 17.5 | 18.0 | 15.6 | 15.8 | 16.2 | 16.4 |
| 12H | 4H | 15.1 | 15.4 | 15.6 | 15.8 | 16.3 | 15.3 | 15.6 | 15.8 | 16.1 |
| | 6H | 15.8 | 16.0 | 16.3 | 16.5 | 17.1 | 15.6 | 15.8 | 16.1 | 16.3 |
| | 8H | 16.3 | 16.5 | 16.8 | 17.0 | 17.6 | 15.7 | 15.9 | 16.3 | 16.4 |
| Variations with the observer position at spacing: | | | | | | | | | | |
| S = | | 1.0H | 1.8 | / -1.1 | | | 2.3 | / -1.7 | | |
| | | 1.5H | | 3.5 / -1.3 | | | | 4.4 / -2.0 | | |
| | | 2.0H | | 5.1 / -1.4 | | | | 6.1 / -2.1 | | |